

<http://journal.rmutp.ac.th/>

การดูดซับทางชีวภาพฟอสเฟตด้วยกากมันสำปะหลังดัดแปร

สุดาธัตัน สุมบัติศรี^{1*} ณัฐวุฒิ สุไชยชิต¹ และ ชัยสิทธิ์ ภภาวะ²

¹ คณะวิทยาศาสตร์และศิลปศาสตร์ มหาวิทยาลัยเทคโนโลยีราชมงคลอีสาน

² สำนักวิชาวิทยาศาสตร์ มหาวิทยาลัยเทคโนโลยีสุรนารี

¹ 744 ถนนสุรนารายณ์ ตำบลในเมือง อำเภอเมือง จังหวัดนครราชสีมา 30000

² 111 ถนนมหาวิทยาลัย ตำบลสุรนารี อำเภอเมือง จังหวัดนครราชสีมา 30000

รับบทความ 11 กรกฎาคม 2561 แก้ไขข้อความ 23 กันยายน 2561 ตอบรับบทความ 22 ตุลาคม 2561

บทคัดย่อ

งานวิจัยนี้ศึกษาการดูดซับทางชีวภาพของฟอสเฟตด้วยกากมันสำปะหลังดัดแปร โดยกากมันสำปะหลังถูกดัดแปลงโดยเมทิลเอนีนสำหรับการดูดซับในสารละลายฟอสเฟตสังเคราะห์ โดยยืนยันลักษณะเฉพาะของตัวดูดซับที่ผ่านการดัดแปลงจากเทคนิค XRD, SEM และ FTIR การทดลองการดูดซับทำในถังปฏิกิริรณ์แบบbag และศึกษาอิทธิพลต่างๆ ต่อการดูดซับ ประกอบด้วย ค่าความเป็นกรด-เบสของสารละลาย เวลาในการดูดซับ และความเข้มข้นเริ่มต้น โดยได้ติดตามปริมาณของฟอสเฟต โดยวิธีวานาโนโมลิบดิฟอสฟอริกแอ็คิด สภาพการทดลองที่ใช้คือ ปริมาณตัวดูดซับ 0.1 กรัม พีเอช 4 เวลา 5 ชั่วโมง ที่ความเข้มข้นฟอสเฟตเริ่มต้น 25 มิลลิกรัมต่อลิตร การศึกษาจนศาสตร์ของ การดูดซับโดยใช้สมการปฏิกิริยาอันดับหนึ่งเทียมและปฏิกิริยาอันดับสองเทียม ที่อุณหภูมิห้องพบว่า ผลการทดลอง สอดคล้องกับสมการปฏิกิริยาอันดับสองเทียม และได้นำแบบจำลองการดูดซับของสมการลงเมียร์และฟรุนเดลิชมา อธิบายໄอโซเทอมและค่าคงที่ไอโซเทอมของการดูดซับพบว่า ข้อมูลการดูดซับที่ได้เป็นไปตามแบบจำลองการดูดซับของลงเมียร์ ซึ่งสามารถคำนวณความสามารถของการดูดซับสูงสุดได้เท่ากับ 5.128 มิลลิกรัมต่อกิโลกรัม โดยการดูดซับดังกล่าวนั้นเกิดผ่านหมู่เอมีนบนตัวดูดซับ และสามารถใช้น้ำชาฟอสเฟตออกจากตัวดูดซับจนถึงสมดุลโดยใช้เวลา 4 วัน

คำสำคัญ : การดูดซับทางชีวภาพ; กากมันสำปะหลังดัดแปร; ฟอสเฟต; ไอโซเทอมของการดูดซับ

* ผู้รับผิดชอบงาน โทร.: +66 4423 3000 ต่อ 4313, ประณีร์อี้เล็กทรอนิกส์: ssombatsri@hotmail.com

<http://journal.rmutp.ac.th/>

Biosorption of Phosphate using Modified Cassava Waste

Sudarat Sombatsri^{1*} Nattawut Suchaichit¹ and Chaiyasit Phawa²

¹ Faculty of Sciences and Liberal Arts, Rajamangala University of Technology Isan

² Institute of science, Suranaree University of Technology

¹ 744 Suranarai Road, Mueang, Nakhon Ratchasima, Nakhon Ratchasima, 30000

² 111 University Avenue, Mueang, Nakhon Ratchasima, Nakhon Ratchasima, 30000

Received 11 July 2018; Revised 23 September 2018; Accepted 22 October 2018

Abstract

The biosorption of phosphate using modified cassava waste were studied. Cassava pulp was modified in methylamine for the adsorption of phosphate ion in aqueous solution. XRD, SEM and FTIR result confirmed the surface modification of modified cassava waste. The adsorption experiments were conducted in a batch reactor. The studied parameters included pH, contact time and initial concentrations. The amount of phosphate in the solution was measured by Vanadomolybdophosphoric acid method. Optimum conditions of adsorption were 0.10 g of modified cassava waste, pH 4 and 5 hour of contact time at 25 mg/L of initial phosphate concentration. Kinetic of adsorption were studied by using the pseudo-first and pseudo-second-order models at room temperature. The results indicated that the pseudo-second-order model best described adsorption kinetic data. The Langmuir and Freundlich adsorption models were applied to describe the isotherms and isotherm constants. The adsorption of modified cassava fitted well with the Langmuir model and the maximum adsorption capacity of 5.128 mg/g; and the active site of adsorption was amine functional group. Phosphate released in water reach equilibrium within 4 days.

Keywords : Biosorption; Modified Cassava Waste; Phosphate; Adsorption Isotherm

* Corresponding Author. Tel.: +66 4423 3000 ext.4313, E-mail Address: ssombatsri@hotmail.com

1. บทนำ

ปัจจุบันน้ำเสียจากแหล่งชุมชนที่ถูกปล่อยทิ้งลงสู่แหล่งน้ำธรรมชาติกำลังมีแนวโน้มเพิ่มมากขึ้น เป็นผลมาจากการขยายตัวของชุมชน และการเพิ่มจำนวนประชากร โดยปัญหามลพิษทางน้ำเกิดจากการเพิ่มขึ้นของธาตุอาหารต่างๆ ในน้ำทิ้งจากแหล่งชุมชน น้ำทิ้งจากการเกษตร น้ำทิ้งจากโรงงานอุตสาหกรรม และการล้างจากหลุมฝังกลบ โดยพบว่า พอกฟอร์สชีร์ เป็นธาตุที่จำเป็นในการเจริญเติบโตของพืชและสัตว์ และยังจัดเป็นสารอาหารที่จำเป็นต่อการเจริญเติบโตของพืชน้ำ (Growth Limiting Nutrient) ในแหล่งน้ำโสโคโร เป็นสาเหตุที่ทำให้เกิดปัญหามลพิษทางน้ำนี้ โดยเกิดปรากฏการณ์ที่เรียกว่า ยูโตรไฟเคชัน (Eutrophication) และเพื่อเป็นการป้องกันปัญหานี้ จึงกำหนดมาตรฐานคุณภาพน้ำทั้งจากระบบบำบัดน้ำเสียรวมของชุมชน โรงงานอุตสาหกรรมและนิคม อุตสาหกรรมขึ้น โดยกำหนดมาตรฐานฟอสฟอรัสทั้งหมด (Total Phosphorus) ไม่เกิน 2 มิลลิกรัมฟอสฟอรัสต่อลิตร [1] ซึ่งวิธีการบำบัดน้ำเสียที่มีสารประกอบฟอสเฟตปนเปื้อนอยู่มีหลายวิธี เช่น การตกรตะกอนด้วยสารเคมี [2-7] หรือ การกำจัดด้วยวิธีทางชีวภาพ [8-10] อย่างไรก็ตาม การบำบัดด้วยสารเคมี จะเกิดตะกอนที่ต้องนำไปกำจัดเป็นจำนวนมาก ขณะที่ การบำบัดทางชีวภาพมีความซับซ้อนและมีค่าใช้จ่ายสูง ดังนั้น จึงมีแนวคิดในการบำบัดน้ำเสียโดยวิธีการดูดซับ เนื่องจากเป็นวิธีที่ทำได้ง่าย และสามารถพัฒนานำมาติดตั้งใช้งานในครัวเรือนได้

การมันสำปะหลังเป็นวัสดุที่เหลือทิ้งจากอุตสาหกรรมการผลิตแป้งมันสำปะหลังที่มีจำนวนมาก ในจังหวัดนครราชสีมา ซึ่งส่วนใหญ่จะนำไปผลิตเป็นอาหารสัตว์ โดยการมันสำปะหลังมีโครงสร้างเซลลูโลส ประมาณร้อยละ 20-30 [11] ที่มีหมุ่ฟังก์ชันทางเคมีที่สามารถปรับแต่งเพื่อให้มีผลต่อการดูดซับบนพื้นผิวได้ ด้วยคุณสมบัตินี้ ผู้วิจัยจึงจุดมุ่งหมายที่จะนำกามันสำปะหลังเหลือทิ้งนี้มาดัดแปลงในห้องปฏิบัติการ

เพื่อใช้เป็นตัวดูดซับ (Adsorbent) สำหรับการดูดซับฟอสเฟต เป็นการลดผลกระทบด้านสิ่งแวดล้อมจาก การปนเปื้อนของฟอสเฟต และเป็นการใช้วัสดุเหลือทิ้งในชุมชนให้เกิดประโยชน์ โดยการดัดแปลงนี้จะช่วยให้เซลลูโลสในการมันสำปะหลังดูดซับฟอสเฟตได้โดยจะทำการศึกษาอิทธิพลของค่าความเป็นกรด-เบส (pH) ระยะเวลาในการดูดซับ ความเข้มข้นของสารละลายฟอสเฟต ไอโซเทอมและจลนศาสตร์การดูดซับ รวมทั้งความสามารถในการปลดปล่อยฟอสเฟตในสารละลาย เพื่อนำไปประยุกต์ในการผลิตปุ๋ยต่อไป

2. วิธีการทดลอง

2.1 การเตรียมตัวดูดซับ

นำกามันสำปะหลัง 10 กรัม มาปรับสภาพด้วยกรด-เบส เพื่อทำความสอดส่องปนเปื้อนและแป้งที่ยังเหลือในการมันสำปะหลัง และนำมาร่อนกวนใน 16% dichloroethane ที่ 70 องศาเซลเซียส เวลา 90 นาที เมื่อครบกำหนดล้างด้วยน้ำร้อนและน้ำเย็น เพื่อกำจัดสารเคมีและสารอัลคาไลน์มากเกินพอก จากนั้นทำการดัดแปลงมันด้วย Methylamine ร้อยละ 10 ที่ 70 องศาเซลเซียส เป็นเวลา 90 นาที กรองแล้วทำการโปรดไนต์ด้วยกรดอะซิติก อบแห้งที่ 60 องศาเซลเซียส เป็นเวลา 24 ชั่วโมง นำไปบดและร่อนให้ได้ขนาด 200-300 ไมโครเมตร

2.2 การดูดซับฟอสเฟต

การทดลองแบบบวก (Batch) ทำโดยชั้งตัวดูดซับหนัก 0.1 กรัม ใส่ลงในบีกเกอร์ ปีเปตสารละลายฟอสเฟตความเข้มข้น 25 มิลลิกรัมต่อลิตร ที่ pH 4 ปริมาณ 50 มิลลิลิตร จากนั้นนำไปบ่อกวน 200 รอบต่อนาที ตามเวลาที่กำหนด นำไปวิเคราะห์หาความเข้มข้นของฟอสเฟตที่เหลืออยู่ โดยใช้วิวานาโนเมลิบดิฟอสฟอริกแอกซิด (Vanadomolybdophosphoric Acid) เกิดเป็นสารประกอบเชิงซ้อนนานาโมเลกุลโดยฟอสเฟต ซึ่งมีสีเหลือง และวิเคราะห์ด้วยเครื่อง

อัลตราไวโอลেต-วิสเบิล สเปคโตรโฟโตมิเตอร์ ที่ความยาวคลื่น 470 นาโนเมตร (UV-Vis: SHIMADZU; JAPAN; UV-2450) โดยศึกษาอิทธิพลของค่าความเป็นกรด-เบส เวลาในการดูดซับ และความเข้มข้น เริ่มต้นของสารละลายนอกสเปต นำผลการทดลองที่ได้มาคำนวณหาร้อยละการดูดซับตามสมการที่ (1)

$$\%adsorption = \frac{(C_0 - C_t)}{C_0} \times 100 \quad (1)$$

โดยที่

C_0 คือ ความเข้มข้นของฟอสเฟตเริ่มต้น (มิลลิกรัมต่อลิตร)

C_t คือ ความเข้มข้นของฟอสเฟต ที่ดูดซับเวลาใดๆ (มิลลิกรัมต่อลิตร)

และคำนวณหาความสามารถในการดูดซับที่สภาวะสมดุลตามสมการที่ (2)

$$q_t = \frac{(C_0 - C_e)}{W} V \quad (2)$$

โดยที่

q_t คือ ความสามารถในการดูดซับที่เวลาใดๆ (มิลลิกรัมต่อกิโลกรัม)

C_0 คือ ความเข้มข้นของฟอสเฟตเริ่มต้น เริ่มต้น (มิลลิกรัมต่อลิตร)

C_e คือ ความเข้มข้นของฟอสเฟตที่สมดุล เริ่มต้น (มิลลิกรัมต่อลิตร)

V คือ ปริมาตรของสารละลายนอกสเปต (ลิตร)

W คือ ปริมาณของตัวดูดซับ (กรัม)

2.3 ตรวจสอบลักษณะเฉพาะของตัวดูดซับ

การทำการตรวจสอบลักษณะของกากมันสำปะหลังและการกวนสำปะหลังดัดแปลง ด้วยเครื่องฟูเรียทرانฟอร์મอินฟราเรดสเปกโตรมิเตอร์ (FTIR: Perkin Elmer; USA; Spectrum 100) เครื่อง

เอกซเรย์ดิฟแฟร์กชัน (XRD: Bruker; USA; D2 phaser), กล้องจุลทรรศน์อิเล็กตรอนแบบส่องกราด (SEM: JEOL; JAPAN; JSM-6010LV)

2.4 การหาประจุที่พิวเป็นศูนย์ (Point of zero charge) ของตัวดูดซับ

เตรียมสารละลายน้ำซีดีเมคโลไรด์ ความเข้มข้น 0.01 มิลาร์ที่ pH ต่างๆ (2-12) วัดค่า pH เริ่มต้น จากนั้นนำตัวดูดซับ 25 มิลลิกรัม ใส่ลงในสารละลายน้ำซีดีเมคโลไรด์ที่เตรียมไว้ ปริมาตร 50 มิลลิลิตร ปั่นกวน 200 รอบต่อนาที 24 ชั่วโมง จากนั้น วัด pH หลังการปั่นกวน [12] (pH meter: Sartorius; GERRAMANY; Döeuh-H±11doc) เพื่อนำค่า pH เริ่มต้น กับค่า pH หลังการปั่นกวน ไปสร้างกราฟ

2.5 ตรวจสอบการปล่อยฟอสเฟตของตัวดูดซับ

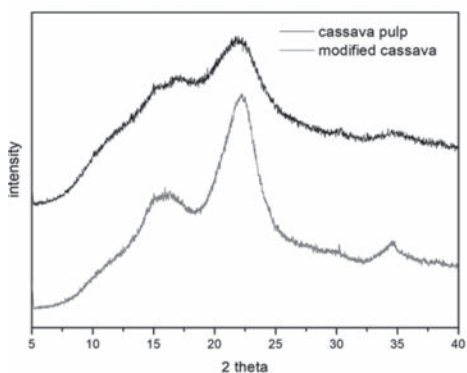
การทดลองการปล่อยหรือการหลุดออกของฟอสเฟตจากตัวดูดซับด้วยน้ำปราศจากไอออน โดยชั่งตัวดูดซับที่มีตัวดูดฟอสเฟต 0.1 กรัม ใส่ในบิกเกอร์ ปีเปตน้ำปราศจากไอออน ปริมาตร 50 มิลลิลิตร ปั่นกวน 200 รอบต่อนาที ที่อุณหภูมิห้อง (27 องศาเซลเซียส) แล้วตรวจสอบฟอสเฟตที่หลุดออกมาน้ำทุก 24 ชั่วโมง เป็นเวลา 7 วัน

3. ผลการทดลองและอภิปรายผล

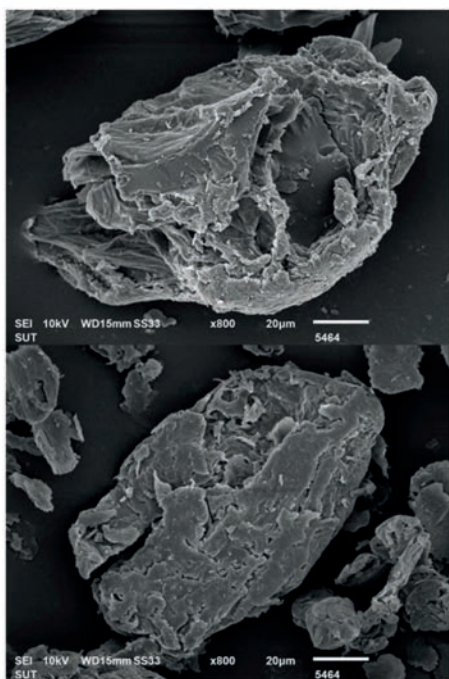
3.1 การตรวจสอบลักษณะเฉพาะของตัวดูดซับ

จากรูปที่ 1 (ก) เป็น XRD Pattern ของกากมันสำปะหลังและการกวนสำปะหลังดัดแปลง พบพิกที่ตำแหน่ง 2Θ เท่ากับ 16° , 22° และ 35° ซึ่งแสดงลักษณะของเซลลูโลส 1 เมื่ອนกัน สอดคล้องกับงานวิจัยของ Haafiz และคณะ [13] โดยกากมันสำปะหลังเมื่อทำการปรับสภาพด้วยกรด-เบส ก่อนทำการดัดแปลง

พบว่า พีกที่ได้มีความคม (Sharp) ซึ่งแสดงความเป็นผลึกเพิ่มมากขึ้น และว่าหลังการปรับสภาพด้วยกรด-เบส ไม่เกิดการเปลี่ยนแปลงใดๆ ในโครงสร้างเซลลูโลส แต่เป็นการกำจัดแป้ง ลิกนินและสิ่งปนเปื้อนออกจากโครงสร้างเท่านั้น เพื่อให้สามารถนำเซลลูโลส มาตัดแปรหมุนฟังก์ชันด้วยหมู่เอมีนได้ ซึ่งสอดคล้องกับผลของ SEM ที่พื้นผิวของกากน้ำมันการปรับสภาพ มีความสะอาดและเรียบมากขึ้น ดังรูปที่ 1 (x)

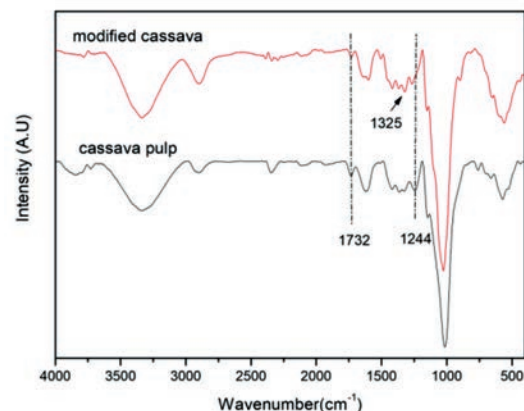


(g) XRD Pattern ของกากน้ำมันสำปะหลังและกากน้ำมันตัดแปร



(h) SEM ของ (1) กากน้ำมันสำปะหลัง (2) กากน้ำมันตัดแปร
รูปที่ 1 XRD Pattern และ SEM ของตัวคูดซับ

ส่วนผลการตรวจสอบลักษณะเฉพาะของตัวคูดซับ โดยใช้ FTIR ในช่วงเลขคู่ 4,000-400 cm⁻¹ ได้สเปกตรัมดังรูปที่ 2 พบว่า ที่เลขคู่ 3334 cm⁻¹ แสดงลักษณะการสั่น O-H Stretching ของ Lignocelluloses ที่เลขคู่ 2,900 cm⁻¹ แสดงลักษณะ C-H Stretching (-CH₂ ของเซลลูโลส) ที่เลขคู่ 1,737 cm⁻¹ และ 1,025 cm⁻¹ แสดงลักษณะ -COOH และ C-O Stretching ตามลำดับ เมื่อนำตัวคูดซับไปตัดแปรด้วยเมทิลเออมีนพบว่า มีการเปลี่ยนแปลงที่เลขคู่ 1,732 cm⁻¹ มีค่า Intensity ลดลง และมีพีกที่ประมาณ 1,325 cm⁻¹ ซึ่งเป็นหมู่ฟังก์ชันของ C-N Stretching จากการตัดแปรเกิดขึ้นบนตัวคูดซับ ซึ่งสอดคล้องกับงานวิจัยของ Munagapati และ Kim [14]

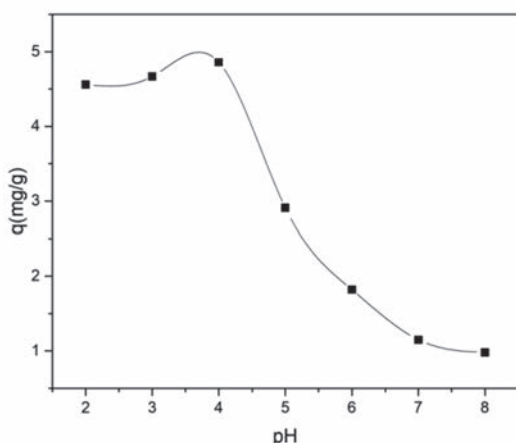


รูปที่ 2 FTIR Spectrum ของตัวคูดซับ

3.2 อิทธิพลของพีเอช

เมื่อเปลี่ยนแปลง pH ของสารละลายน้ำดังแสดงในรูปที่ 3 พบว่า ค่าความสามารถในการตัดซับจะเกิดเปลี่ยนแปลงด้วย เนื่องจากความเป็นกรดเบสของสารละลายน้ำอิทธิพลต่อประจุที่ผิวของตัวคูดซับ ซึ่งสารละลายน้ำที่มี pH ต่ำกว่าค่าความเป็นกรด-เบสที่ทำให้ประจุที่ผิวของตัวคูดซับเป็นศูนย์ (point of zero charge; pH_{pzc}) ซึ่ง pH_{pzc} กากน้ำมันสำปะหลังตัดแปร

มีค่าเท่ากับ 5.45 จะทำให้ผิวของตัวดูดซับแสดงประจุบวก ซึ่งมีตำแหน่งที่ว่องไวในการดูดซับฟอสเฟตมากขึ้น และเกิดการดูดซับด้วยแรงดึงดูดทางไฟฟ้าสถิตขณะที่สารละลายที่มี pH สูงกว่าค่า pH_{pzc} ของตัวดูดซับจะทำให้ผิวของตัวดูดซับแสดงประจุลบมากขึ้น เกิดแรงผลักดันของประจุลบของฟอสเฟต ทำให้มีค่าความสามารถในการดูดซับน้อย ดังนั้นจึงเลือกสารละลายฟอสเฟตที่ pH 4 เป็นสภาวะที่เหมาะสมสำหรับการทดลองครั้งนี้



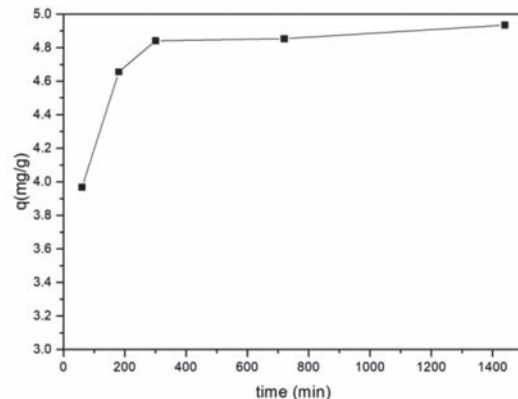
รูปที่ 3 อิทธิพลของ pH ต่อความสามารถในการดูดซับ (สภาวะการทดลอง: ตัวดูดซับ 0.1 กรัม ปริมาตร 50 มิลลิลิตร ความเข้มข้นฟอสเฟตเริ่มต้น 25 มิลลิกรัมต่อมิลลิลิตร เวลา 5 ชั่วโมง)

3.3 อิทธิพลของเวลาและจำนวนสารตัวดูดซับ เมื่อเปลี่ยนแปลงเวลา 60-1,440 นาที ผลการดูดซับ แสดงในรูปที่ 4

เมื่อทำการศึกษาอัตราเร็วปฏิกิริยาของการดูดซับ โดยใช้แบบจำลองสมการปฏิกิริยาอันดับหนึ่งเทียม (Pseudo-first-order)

$$\log(q_e - q_t) = \log q_e - \frac{k_1}{2.303} t \quad (3)$$

และแบบจำลองสมการปฏิกิริยาอันดับสองเทียม (Pseudo-second-order)



รูปที่ 4 อิทธิพลของเวลา
(สภาวะการทดลอง: ตัวดูดซับ 0.1 กรัม ปริมาตร 50 มิลลิลิตร ความเข้มข้นฟอสเฟตเริ่มต้น 25 มิลลิกรัมต่อมิลลิลิตร pH 4)

$$\frac{t}{q_t} = \frac{1}{k_2 q_e^2} + \frac{1}{q_e} t \quad (4)$$

โดยที่

q_e คือ ความสามารถในการดูดซับที่สภาวะสมดุล (มิลลิกรัมต่อกิโลกรัม)

q_t คือ ความสามารถในการดูดซับที่ดูดซับ ณ เวลาใดๆ (มิลลิกรัมต่อกิโลกรัม)

t คือ เวลาที่ใช้ในการดูดซับ (นาที)

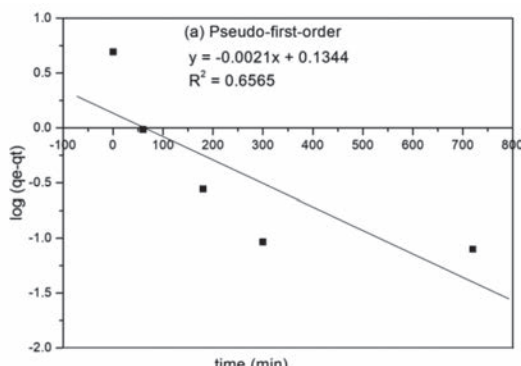
k_1 และ k_2 คือ ค่าคงที่อัตราเร็วของปฏิกิริยาอันดับที่หนึ่ง (ต่อนาที) และค่าคงที่อัตราเร็วของปฏิกิริยาอันดับที่สอง (กรัมต่อมิลลิกรัม-นาที) ตามลำดับ

โดยข้อมูลจากการศึกษาอิทธิพลของเวลา มาเขียนความสัมพันธ์ระหว่าง $\log(q_e - q_t)$ กับ เวลา (t) ดังรูปที่ 5 (ก) และ t/q_t กับเวลา (t) ดังรูปที่ 5 (ข) พบว่า ค่าสัมประสิทธิ์สหสัมพันธ์ของแบบจำลองสมการปฏิกิริยาอันดับสองเทียมให้ผลการทดลองสอดคล้องมากกว่าแบบจำลองสมการปฏิกิริยาอันดับหนึ่งเทียม ดังนั้นจึงสันนิษฐานได้ว่า กลไกการดูดซับฟอสเฟตของกาบมันสำปะหลังตัดแปรเป็นการดูดซับที่เกิดจากแรง

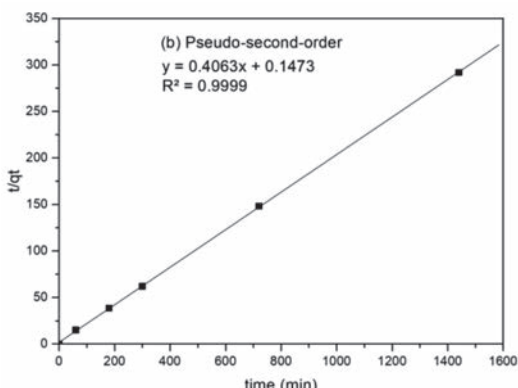
ทางเคมีโดยมีค่าคงที่อัตราการเกิดปฏิกิริยาอันดับสองเที่ยมเท่ากับ 0.022 ดังตารางที่ 1

ตารางที่ 1 ค่าคงที่อัตราการเกิดปฏิกิริยาและอันดับการเกิดปฏิกิริยา

ปฏิกิริยาอันดับหนึ่งเที่ยม			ปฏิกิริยาอันดับสองเที่ยม		
q_e (mg/g)	k_1 (1/ min)	R^2	q_e (mg/g)	k_2 (g/mg min)	R^2
1.363	0.005	0.656	4.955	0.022	0.999



(ก) กราฟแสดงความสัมพันธ์ตามสมการปฏิกิริยาอันดับหนึ่งเที่ยม



(ข) กราฟแสดงความสัมพันธ์ตามสมการปฏิกิริยาอันดับสองเที่ยม

รูปที่ 5 กราฟแสดงจำนวนสารต์การดูดซับ

3.4 อิทธิพลของความเข้มข้นและไอโซเทอม การดูดซับ

เมื่อเปลี่ยนแปลงความเข้มข้นตั้งแต่ 10-100 มิลลิกรัมต่อลิตร นำข้อมูลที่ได้ไปศึกษาไอโซเทอมของการดูดซับโดยหาความสัมพันธ์ระหว่างปริมาณฟอสเฟตที่ถูกดูดซับต่อหน่วยน้ำหนักของตัวดูดซับกับความเข้มข้นของฟอสเฟตที่เหลืออยู่ที่สภาวะสมดุล ณ อุณหภูมิคงที่ เพื่อหาไอโซเทอมที่เหมาะสมและใช้อธิบายลักษณะการดูดซับซึ่งจะพิจารณาความถูกต้องของไอโซเทอมการดูดซับจากค่าสัมประสิทธิ์สัมพัทธ์ มีความใกล้เคียงหนึ่งมากที่สุด (R^2) โดยแบบจำลองไอโซเทอมของการดูดซับที่นิยมใช้คือแบบจำลองไอโซเทอมของการดูดซับแบบลงเมียร์

$$\frac{1}{q_e} = \frac{1}{q_m} + \frac{1}{K_L q_m} \frac{1}{C_e} \quad (5)$$

โดยที่

q_e คือ ความสามารถในการดูดซับที่ภาวะสมดุล (มิลลิกรัมต่อกิรัม)

q_m คือ ปริมาณสูงสุดที่สามารถดูดซับแบบขั้นเดียวต่อตัวดูดซับ (มิลลิกรัมต่อกิรัม)

C_e คือ ความเข้มข้นที่สมดุล (มิลลิกรัมต่อลิตร)

K_L คือ ค่าคงที่ลงเมียร์ (ลิตรต่อมิลลิกรัม)

และแบบจำลองไอโซเทอมของการดูดซับแบบพรุน-ดลิช

$$\log q_e = \log K_F + \frac{1}{n} \log C_e \quad (6)$$

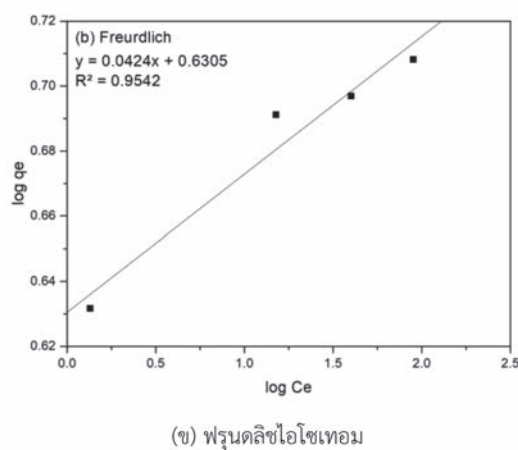
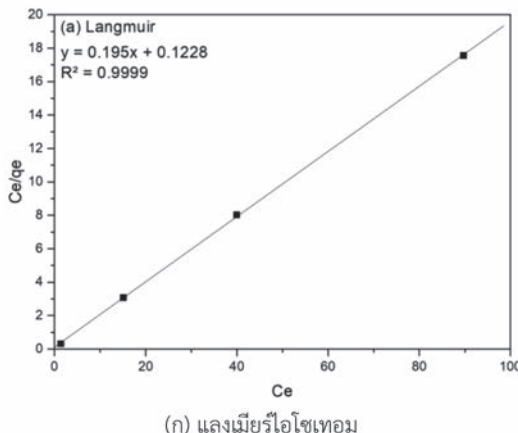
โดยที่

q_e คือ ความสามารถในการดูดซับที่ภาวะสมดุล (มิลลิกรัมต่อกิรัม)

K_F คือ ค่าคงที่พรุนดลิช (มิลลิกรัมต่อกิรัม)

$\frac{1}{n}$ คือ ปัจจัยที่แสดงความไม่เป็นเนื้อเดียวกัน

เมื่อนำข้อมูลที่ได้มาเขียนความสัมพันธ์ระหว่าง C_e/q_e กับ C_e ดังรูปที่ 6 (ก) และ $\log q_e$ กับ $\log C_e$ ดังรูปที่ 6 (ข) พบว่า ข้อมูลการทดลองสอดคล้องกับสมการ Langmuir และเมียร์มากกว่าฟรุนเดลิช โดยแบบจำลองของ Langmuir ได้รูปแบบเส้นตรง ขณะที่แบบจำลองของเมียร์เป็นเส้นโค้งที่ตัดที่แกน y-axis ที่ $q_e = 0$ แต่ในรูปที่ 6 (ก) พบว่า $q_e \neq 0$ ที่แกน y-axis ทำให้ต้องนำค่า q_e ลบ去ค่า 0.1228 จึงจะได้เส้นตรงตามที่ Langmuir ระบุไว้ แต่ในรูปที่ 6 (ข) พบว่า $\log q_e$ ไม่สามารถเขียนเป็นเส้นตรงได้ แสดงว่าการดูดซึบสามารถเกิดได้มากที่สุดโดยมีความหนาแน่นของสารที่ถูกดูดซึบจะถูกยึดไว้ที่ตำแหน่งใดตำแหน่งหนึ่งบนพื้นผิวน้ำ (หมายความว่าการดูดซึบสามารถเกิดได้มากที่สุดโดยมีความหนาแน่นของสารที่ถูกดูดซึบจะถูกยึดไว้ที่ตำแหน่งใดตำแหน่งหนึ่งบนพื้นผิวน้ำ)



รูปที่ 6 กราฟแสดงไอโซเทอมการดูดซึบ

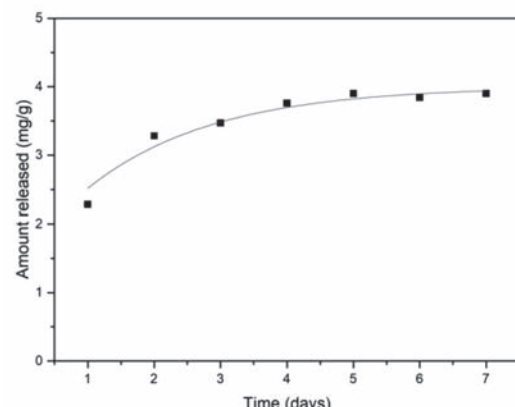
เพียงชั้นเดียว) จากสมการไอโซเทอมการดูดซึบสามารถคำนวณหาค่าความจุการดูดซึบของตัวดูดซึบได้ดังแสดงไว้ในตารางที่ 2

ตารางที่ 2 ค่าคงที่ของการดูดซึบแบบ Langmuir และ Frundeลิช

ฟอสเฟต	แบบจำลองการดูดซึบ			แบบจำลองการดูดซึบ			
	ดูดซึบ Langmuir	ฟรุนเดลิช					
	q_e	q_m	K_L	R^2	$1/n$	K_F	R^2
	(mg/g)	(mg/g)	(L/mg)			(L/mg)	
	4.934	5.128	1.588	0.999	0.042	4.271	0.954

3.5 การปล่อยฟอสเฟตของตัวดูดซึบ

เมื่อนำตัวดูดซึบที่อ่อนตัวไปด้วยฟอสเฟต (4.934 มิลลิกรัมต่อกรัม) มาแขวนน้ำประชาจากไอก้อน ที่อุณหภูมิห้อง (27 องศาเซลเซียส) ปั่นกวน 200 รอบต่อนาที เป็นเวลา 7 วัน โดยตรวจวัดทุก 24 ชั่วโมง พบว่า ฟอสเฟตถูกปล่อยออกจากตัวดูดซึบได้มากที่สุด 3.76 มิลลิกรัมต่อกรัม ในเวลา 4 วัน ซึ่งการปลดปล่อยฟอสเฟตของตัวดูดซึบนี้ อาจเป็นผลมาจากการปั่นกวนที่ช่วยทำให้มีการแทนที่ฟอสเฟตด้วยไออกอน OH^- ในน้ำได้ดี ดังแสดงในรูปที่ 7 นอกจากนี้หากเพิ่มอุณหภูมิของ



รูปที่ 7 กราฟแสดงความสามารถในการปล่อยฟอสเฟตออกจากตัวดูดซึบ

น้ำที่ใช้ในการซักฟอสเฟตออกจากตัวดูดซับ สันนิษฐานว่า อาจช่วยให้มีการปลดปล่อยฟอสเฟตออกจากตัวดูดซับได้เพิ่มขึ้นและใช้เวลาลดลงอีกด้วย

4. สรุป

การดูดซับฟอสเฟตในสารละลายน้ำ สำหรับ pH 4 เวลา 5 ชั่วโมง ความเข้มข้นเริ่มต้นฟอสเฟต 25 มิลลิกรัมต่อลิตรพบว่า การมั่นสำ茫หังดัดแปรสามารถดูดซับได้ 4.934 มิลลิกรัมต่อกิโลกรัมของตัวดูดซับ จนศาสตร์ของการดูดซับสอดคล้องกับสมการปฏิกิริยาอันดับสองเทียม ส่วนไอโซเทโนมการดูดซับสอดคล้องกับสมการแลงเมียร์ และสามารถนำฟอสเฟตออกจากตัวดูดซับโดยใช้น้ำ ซึ่งหมายความสำหรับนำไปประยุกต์เป็นปัจจัยในการทดลองถัดไป

5. กิตติกรรมประกาศ

คณะผู้วิจัยขอขอบคุณทุนวิจัยจากมหาวิทยาลัยเทคโนโลยีราชมงคลอีสาน งบประมาณรายจ่ายประจำปีงบประมาณ 2561 โดยได้รับการประเมินข้อเสนอจากสำนักงานคณะกรรมการวิจัยแห่งชาติ (วช.) รวมทั้งห้องปฏิบัติการสาขาวิชาเคมีประยุกต์ คณะวิทยาศาสตร์และศิลปศาสตร์ มหาวิทยาลัยเทคโนโลยีราชมงคลอีสาน และมหาวิทยาลัยเทคโนโลยีสุรนารีสำหรับอุปกรณ์ สารเคมี และสถานที่ทำการวิจัย

6. เอกสารอ้างอิง

- [1] Notification of Ministry of Science, Technology and Environment no. 3, "Industrial Effluent Standards for Industrial Plants and Industrial Estates," *Royal Government Gazett*, vol. 113, Part 13D, Feb. 1996.
- [2] R. Yamamoto-Ikemoto, S. Matsui, T. Komori and E. K. Bosque-Hamilton, "Control of filamentous bulking and interactions among sulfur oxidation-reduction and iron oxidation-reduction in activated sludge using an iron coagulant," *Water Science and Technology*, vol. 38, pp. 9-17, 1998.
- [3] D. Donnert and M. Salecker, "Elimination of phosphorus from waste water by crystallization," *Environmental Technology*, vol. 20, pp. 735-742, 1999.
- [4] S. H. Huang and B. Chiswell, "Phosphate removal from wastewater using spent alum sludge," *Water Science and Technology*, vol. 42, pp. 295-300, 2000.
- [5] Q. Wu, P. L. Bishop, T. C. Keener, J. Stallard and L. Stile, "Sludge digestion enhancement and nutrient removal from anaerobic supernatant by MgOH₂ application," *Water Science and Technology*, vol. 44, pp. 161-166, 2001.
- [6] W. G. Yi and K. V. Lo, "Phosphate recovery from greenhouse wastewater," *Journal of Environmental Science and Health, Part B*, vol. 38, pp. 501-509, 2003.
- [7] S. Gao, C. Wang and Y. Pei, "Comparison of different phosphate species adsorption by ferric and alum water treatment residuals," *Journal of Environmental Sciences*, vol. 25, no. 5, pp. 986-992, 2013.
- [8] P. Chevalier, D. Proulx, P. Lessard, W. F. Vincent and J. de la Noue, "Nitrogen and phosphorus removal by high latitude mat-forming cyanobacteria for potential use in tertiary wastewater treatment,"

- Journal of Applied Phycology*, vol. 12, pp. 105-112, 2000.
- [9] S. S. Choi and Y. J. Yoo, "Removal of phosphate in a sequencing batch reactor by *Staphylococcus auricularis*," *Biotechnology Letters*, vol. 22, pp. 1549-1552, 2000.
- [10] N. F. Y. Tam and Y. S. Wong, "Effect of immobilized microalgal bead concentrations on wastewater nutrient removal," *Environmental Pollution*, vol. 107, pp. 145-151, 2000.
- [11] U. Rattanachomsri, S. Tanapongpipat, L. Eurwilaichitr and V. Champreda, "Simultaneous non-thermal saccharification of cassava pulp by multi-enzyme activity and ethanol fermentation by *Candida tropicalis*," *Journal of Bioscience and Bioengineering*, vol. 107, no. 5, pp. 488-493, 2009.
- [12] A. O. Jorgetto, R. I. V. Silva, M. J. Saeki, R. C. Barbosa, M. A. U. Martines, S. M. A. Jorge, A.C. P. Silva, J. F. Schneider and G. R. Castro, "Cassava root husks powder as green adsorbent for the removal of Cu(II) from natural river water," *Applied Surface Science*, vol. 288, pp. 356-362, 2014.
- [13] M. K. M. Haafiz, A. Hassan, Z. Zakaria and I. M. Inuwz, "Isolation and characterization of cellulose nanowhiskers from oil palm biomass microcrystalline cellulose," *Carbohydrate Polymrt*, vol. 103, pp. 119-125, 2014.
- [14] V. S. Munagapati and D. S. Kim, "Adsorption of anionic azo dye congo red from aqueous solution by cationic modified orange peel powder," *Journal of Molecular Liuids*, vol. 220, pp. 540-548, 2016.